

FIGURA 1. Questo grafico mostra la sensibilità del metodo di Newton alla scelta della stima iniziale $x^{(0)}$. Si considera la funzione $f(x) = x^3 - x$. Per 200 valori di $x^{(0)}$ equispaziati in $[-1.5, 1.5]$ è stato lanciato il metodo di Newton. In corrispondenza di ogni valore di $x^{(0)}$ è mostrato un segmento verticale la cui altezza indica il numero di iterate necessarie a raggiungere la tolleranza prefissata $1.0e-15$, ed il cui colore indica la radice alla quale converge il metodo. [Per esigenze di rappresentazione, la figura mostra il grafico di f moltiplicata per un opportuno fattore di scala. Questo non influisce sulle iterate del metodo.]

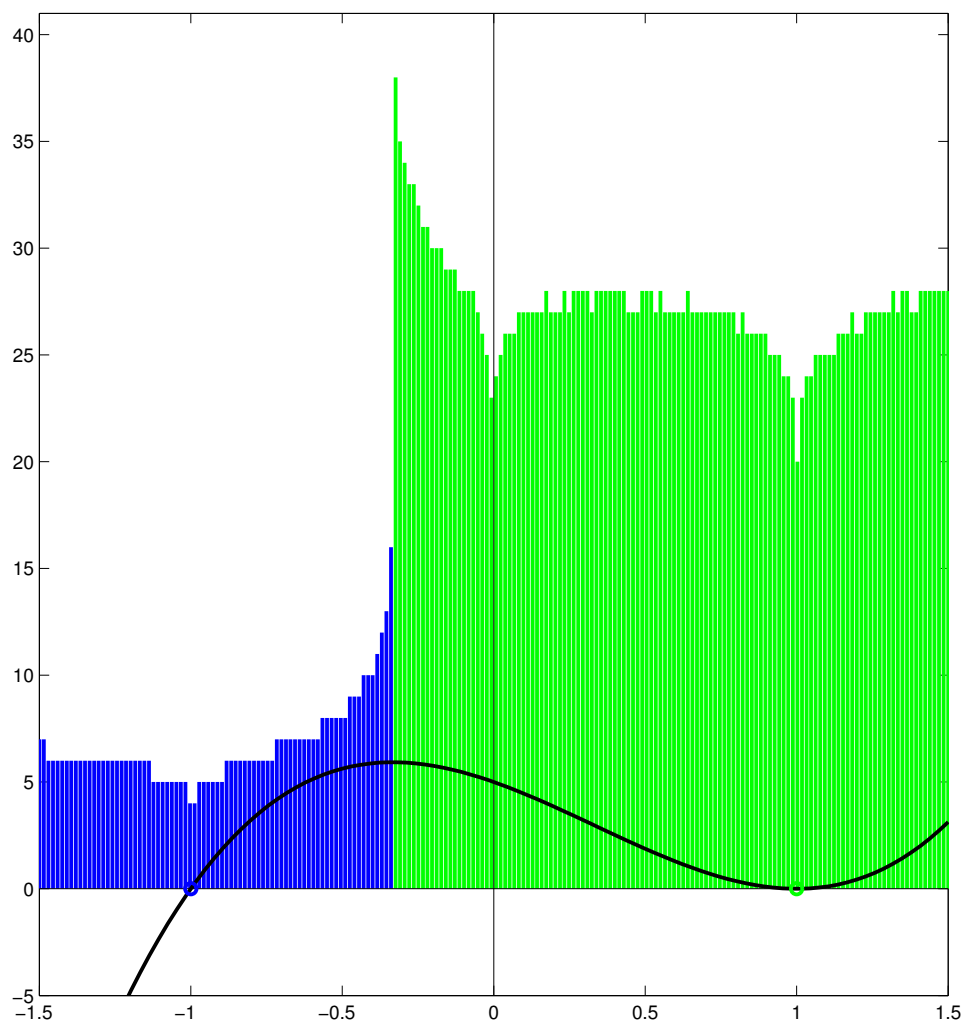


FIGURA 2. Questo grafico è analogo a quello mostrato in Figura 1, ma la funzione considerata è $f(x) = x^3 - x^2 - x + 1$.

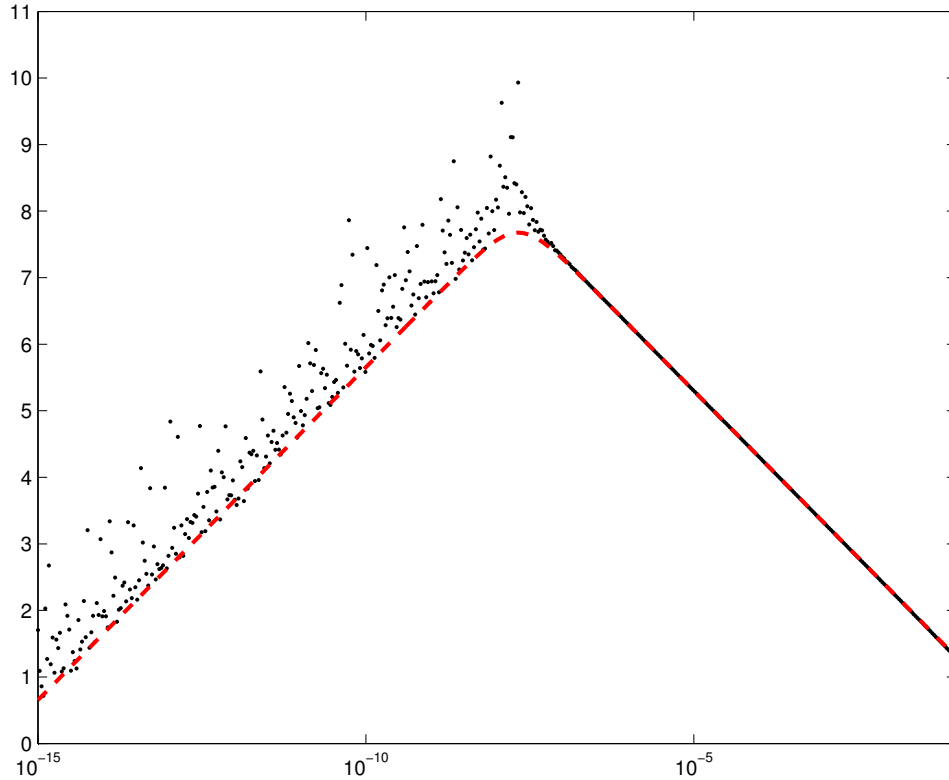


FIGURA 3. Questo grafico mostra la qualità dell'approssimazione:

$$f'(x) \approx \frac{f(x+h) - f(x)}{h}$$

in funzione di h . Sull'asse delle ascisse è mostrato h , sull'asse delle ordinate il numero di cifre significative corrette dell'approssimazione (è stata usata una doppia scala logaritmica). In nero ci sono i dati rilevati sperimentalmente, in rosso i valori predetti dal modello:

$$E_h^{\text{rel}} \approx \left| \frac{f(x)}{f'(x)} \right| \text{eps} \frac{1}{h} + \left| \frac{f''(x)}{2 f'(x)} \right| h.$$

Questo grafico è stato ottenuto approssimando la derivata di $f(x) = e^x$ nel punto $x = 1$.

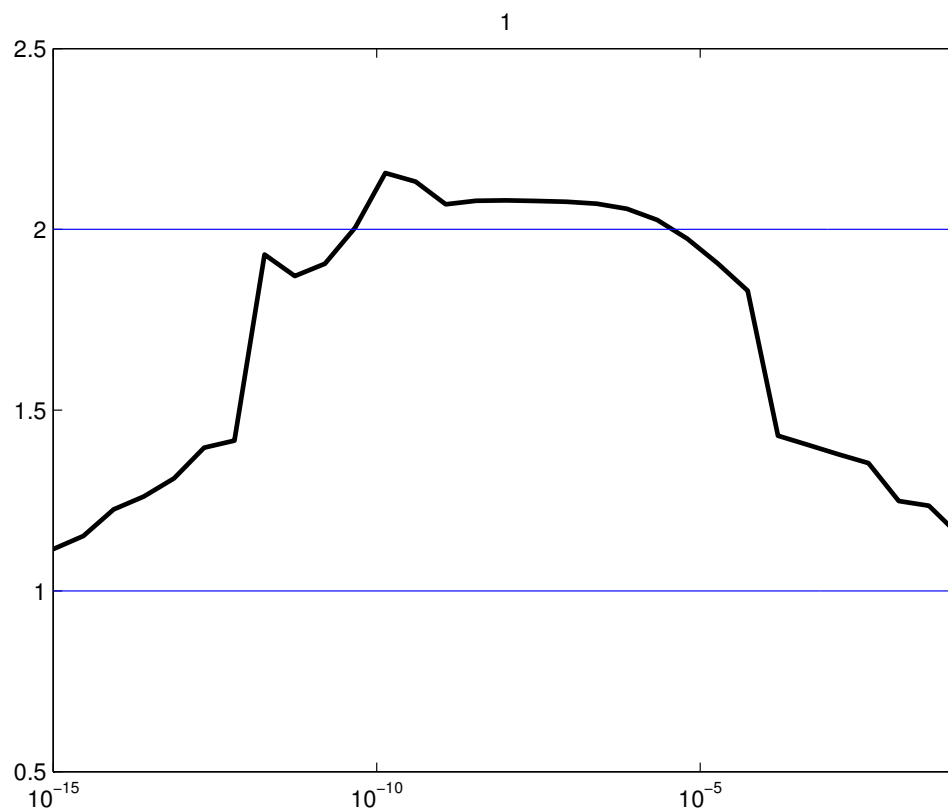


FIGURA 4. Questo grafico mostra la dipendenza della velocità di convergenza del metodo quasi-Newton dal valore di h . Sull'asse delle ascisse è indicato h (in scala logaritmica), su quello delle ordinate l'ordine di convergenza *osservato sperimentalmente*.